

## Trabajo Práctico N° 6

### *Análisis cuasi-geostrófico de flujo de gran escala*

1. Como se ha demostrado en TP anteriores, el viento ageostrófico puede expresarse del siguiente modo:

$$\bar{V}_{ag} = \frac{\hat{k}}{f} \times \frac{d\bar{V}}{dt} = \frac{\hat{k}}{f} \times \left( \frac{\partial \bar{V}}{\partial t} + \bar{V} \cdot \nabla \bar{V} + \omega \frac{\partial \bar{V}}{\partial p} \right)$$

En el marco de la teoría cuasi-geostrófica el viento real puede ser aproximado por el viento geostrófico, y los primeros dos términos de esta expresión representan a la tendencia local del viento, conocido como *viento isalobárico* ( $V_{isal}$ ), y a la *componente inercial advectiva* ( $V_{ia}$ ). En estudios sinópticos, el tercer término (*componente convectiva del movimiento*) puede ser omitido.

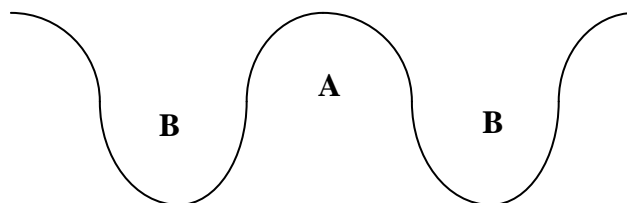
- a. Demostrar que el viento isalobárico puede ser expresado en términos de la *tendencia del geopotencial* ( $\chi$ ) del siguiente modo:

$$V_{isal} = -\frac{1}{f_0^2} \nabla \chi$$

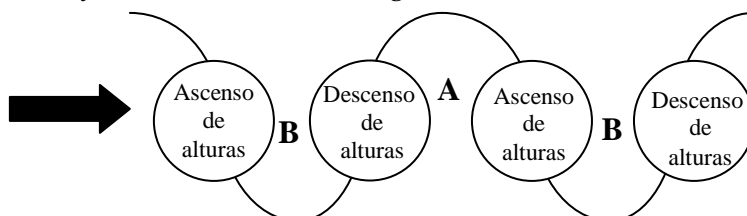
- b. Demostrar que la componente advectiva inercial del viento ageostrófico puede expresarse del siguiente modo:

$$\bar{V}_{ia} = -\frac{\bar{V}_g \zeta_g}{f}$$

- c. A partir de la expresión hallada en el inciso b., y utilizando esquemas gráficos simples, analizar el comportamiento de  $V_{ia}$  en la entrada y salida de una corriente en chorro, y en un tren de ondas del campo de geopotencial en troposfera alta.
2. a. Considerar una onda troposférica como la que se indica en la siguiente figura (latitudes medias del hemisferio norte). A partir del análisis del viento ageostrófico indicar regiones de ascenso y descenso del aire.



- b. La onda presentada en el inciso anterior tiene asociada una distribución de ascensos y descensos de alturas como la indicada en la siguiente figura. ¿Qué puede concluirse (cuantitativamente) sobre las magnitudes de las componentes isalobárica y advectiva del viento ageostrófico en ese nivel?



## Introducción a la Dinámica de la Atmósfera - 2015

---

3. Demostrar que la ecuación de la tendencia del geopotencial cuasigeoestrófica puede escribirse como una ecuación de conservación de vorticidad potencial cuasigeoestrófica ( $q$ ):

$$\frac{d_s q}{dt} = \left( \frac{\partial}{\partial t} + V_s \cdot \nabla \right) q = 0$$

donde

$$q \equiv \left[ \frac{1}{f_0} \nabla^2 \phi + f + \frac{\partial}{\partial p} \left( \frac{f_0}{\sigma} \frac{\partial \phi}{\partial p} \right) \right]$$

4. Dada la siguiente expresión para el campo geopotencial:

$$\phi = \phi_0(p) + cf_0 \left\{ y \left[ \cos(\pi p / p_0) + 1 \right] + k^{-1} \text{sen}(k(x - ct)) \right\}$$

donde  $c$  es una velocidad constante,  $k$  el número de onda zonal y  $p_0 = 1000$  hPa.

- Obtener expresiones para el viento geoestrófico y la vorticidad relativa.
  - Calcular la advección de vorticidad relativa.
  - Utilizar la ecuación de vorticidad cuasi-geoestrófica para obtener el campo de divergencia horizontal consistente con el campo  $\phi$ , asumiendo  $f$  constante.
  - Asumiendo  $\omega(p_0) = 0$  obtener una expresión para  $\omega(x, y, p, t)$  integrando la ecuación de continuidad con respecto a la presión.
  - Calcular el vector  $Q$ .
5. Considerando la distribución del geopotencial del ejercicio 4, y asumiendo que  $\sigma$  es constante, obtener una expresión alternativa para  $\omega$  utilizando la ecuación termodinámica cuasigeoestrófica. ¿Para qué valor de  $k$  coincide esta expresión con la obtenida en el ejercicio 4?
6. Teniendo en cuenta las funciones forzantes de la ecuación omega:
- Describir mediante un esquema simple por qué se producen ascensos en la delantera de vaguada. Considerar como ejemplo el hemisferio sur.
  - Indicar con una X la respuesta correcta y justificar la elección realizada.

$\bar{u}_s \cdot \nabla \left( -\frac{\partial \phi}{\partial p} \right) > 0$ corresponde a advección térmica	fría	
	caliente	
$\bar{u}_s \cdot \nabla (\xi_g) > 0$ corresponde a advección de vorticidad relativa geoestrófica	ciclónica	
	anticiclónica	

## Introducción a la Dinámica de la Atmósfera - 2015

---

### Respuestas

4. a.  $\zeta_g = -cksen(k(x-ct)) // \bar{V}_g = (c[1 + \cos(\pi p/p_0)], c \cos(k(x-ct)))$   
 b.  $-\bar{V}_g \cdot \nabla \zeta_g = c^2 k^2 \cos(k(x-ct)) [1 + \cos(\pi p/p_0)]$   
 c.  $\nabla \cdot \bar{V} = (c^2 k^2 / f_0) \cos(\pi p/p_0) \cos(k(x-ct))$   
 d.  $\omega = (p_0/\pi)(c^2 k^2 / f_0) sen(\pi p/p_0) \cos(k(x-ct))$   
 e.  $Q_1 = (c^2 k f_0 \pi / p_0) sen(\pi p/p_0) sen(k(x-ct)) // Q_2 = 0$
5.  $\omega = (c^2 f_0 \pi / \sigma p_0) sen(\pi p/p_0) \cos(k(x-ct)) \rightarrow k^2 = (f_0^2 \pi^2 / \sigma p_0^2)$

### Marco teórico

Ecuación omega cuasigeostrofica: partiendo del conjunto de 5 ecuaciones fundamentales, y haciendo ciertas suposiciones (entre otras, aproximación plano beta, geostrofismo en ecuación de momento y en componente vertical de vorticidad), puede hallarse la siguiente expresión de la ecuación de vorticidad cuasigeostrofica:

$$\frac{\partial \zeta_g}{\partial t} = -\bar{V}_g \cdot \nabla \zeta_g + f_0 \frac{\partial \omega}{\partial p}$$

donde  $f_0$  es el valor del parámetro  $f$  a una latitud fija  $\varphi_0$ . Por otra parte, asumiendo que el calentamiento diabático es despreciable, la ecuación termodinámica cuasigeostrofica resulta:

$$\frac{\partial}{\partial t} \left( -\frac{\partial \phi}{\partial p} \right) = -\bar{V}_g \cdot \nabla \left( -\frac{\partial \phi}{\partial p} \right) + \sigma \omega$$

donde  $\sigma$  es el parámetro de estabilidad estática:  $\sigma = \frac{R S_p}{p} = -\alpha \frac{\partial \ln \theta}{\partial p}$

Combinando las ecuaciones anteriores y operando matemáticamente puede llegarse la siguiente expresión de la ecuación omega cuasigeostrofica:

$$\left( \nabla^2 + \frac{f_0^2}{\sigma} \frac{\partial^2}{\partial p^2} \right) \omega = \frac{f_0}{\sigma} \frac{\partial}{\partial p} \left[ \bar{V}_g \cdot \nabla (\zeta_g + f) \right] + \frac{1}{\sigma} \nabla^2 \left[ \bar{V}_g \cdot \nabla \left( -\frac{\partial \phi}{\partial p} \right) \right]$$

Ecuación de tendencia del geopotencial cuasigeostrofica: esta ecuación permite el pronóstico de la circulación geostrofica basándose en las ecuaciones cuasi-geostroficas. Reescribiendo estas últimas en términos de la tendencia del geopotencial y combinándolas, puede hallarse la siguiente ecuación de tendencia del geopotencial:

$$\left( \nabla^2 + \frac{f_0^2}{\sigma} \frac{\partial^2}{\partial p^2} \right) \chi = -f_0 \bar{V}_g \cdot \nabla \left( \frac{1}{f_0} \nabla^2 \phi + f \right) - \frac{f_0^2}{\sigma} \frac{\partial}{\partial p} \left[ \bar{V}_g \cdot \nabla \left( \frac{\partial \phi}{\partial p} \right) \right]$$

Representación del vector Q: definiendo a  $Q_1$  y  $Q_2$  como magnitudes de la tendencia geostrofica:

$$Q_1 = -\frac{\partial \bar{V}_g}{\partial x} \cdot \nabla \left( -\frac{\partial \phi}{\partial p} \right), \quad Q_2 = -\frac{\partial \bar{V}_g}{\partial y} \cdot \nabla \left( -\frac{\partial \phi}{\partial p} \right)$$

se obtiene la siguiente expresión del vector  $Q$  en coordenadas naturales ( $s$  en la dirección de las isotermas y  $n$  atravesándolas, hacia el aire más frío):

$$\bar{Q} = -\frac{R}{p} \left| \frac{\partial T}{\partial n} \right| \left[ \hat{k} \times \frac{\partial \bar{V}_g}{\partial s} \right]$$